

Table 2. Size distribution of sinter and coke.

## Sinter (Sampling at second hot screen)

	<5 mm	5~10	10~25	25~50	50~75	75<	Mean
1/'65~9/'65	2·92%	20·38	39·89	25·93	9·37	1·51	24·55 mm
10/'65~6/'66	4·54%	18·96	36·21	29·00	10·19	1·10	25·89 mm

## Coke (Sampling at coke bunker)

	<10 mm	10~20	20~30	30~50	50~75	75<	Mean
1/'65~9/'65	1·45%	6·71	16·16	60·20	14·83	0·65	38·88 mm
10/'65~6/'66	1·46%	6·51	17·66	65·39	8·82	0·08	37·24 mm

して突出を 200 mm としたのは羽口前速度を考慮したためである。このD型羽口は 6 カ月の定期交換以外ほとんど破損していない。

## 3.2 D型羽口使用時の実績

昭和 38 年 1 月から昭和 41 年 10 月までの操業実績を Fig. 3 に示す。

出銑量についてみると、昭和 38 年は最高月平均 579 t/day であつたが、D型羽口を使用して増風が可能になつてから、昭和 40 年 2 月は 776 t/day (出銑比 2·37 t/day/m<sup>3</sup>)、以下出銑比は ( ) で示す) を出銑することができた。昭和 41 年 6 月には火入れ以来初めて月平均 804 t/day (2·47) となり同年 10 月には 830 t/day (2·55) の大台を突破することができた。

コークス比は増風に伴う送風温度の低下から漸次上昇せざるを得なくなり、昭和 38 年 1 月は 410 kg/t-pig であつたものが昭和 41 年 10 月は 501 kg/t-pig と約 90 kg/t-pig の増加になつてゐる。これは送風温度が昭和 38 年 1 月の 1018°C から昭和 41 年 8 月の 850°C まで 168°C も下り、増風によつて酸素富化率を 4·3% から 2·0% まで下げているため、重油比も 78 kg/t-pig から 27 kg/t-pig に減少せざるを得なくなつたためである。

[Si] については昭和 41 年 10 月の本操業法確立の段階において、規格 0·40~0·80% に対し初めて 82% の合格率となり、P/V については、昭和 38 年 1 月は 1·48 であつたが、昭和 41 年 10 月は 1·16 となり、増風後 P/V は大巾に低下している。

送風量と風圧の関係についてみると、Fig. 4 に示すよろ D型羽口のほうが同一風量においても風圧を低くすることができる。Fig. 4 と同一期間の装入物粒度については Table 2 に示すようにほとんど同じであるから、P/V の低下にはほぼ関係がないことがわかる。

## 4. 結 言

近年製銑技術の進歩はめざましいものがあるが、送風羽口についてはあまり研究されていないようと思える。筆者らは長年羽口による高炉々況改善の研究を進め、ここに橢円羽口を垂直面で斜断して送風出口断面を扁平卵形となし、先端に向かつて八の字を開いたD型羽口を開発して、昭和 41 年 10 月に月平均出銑量 830 t/day、出銑比 2·55 t/day/m<sup>3</sup> の好成績を上げることができた。

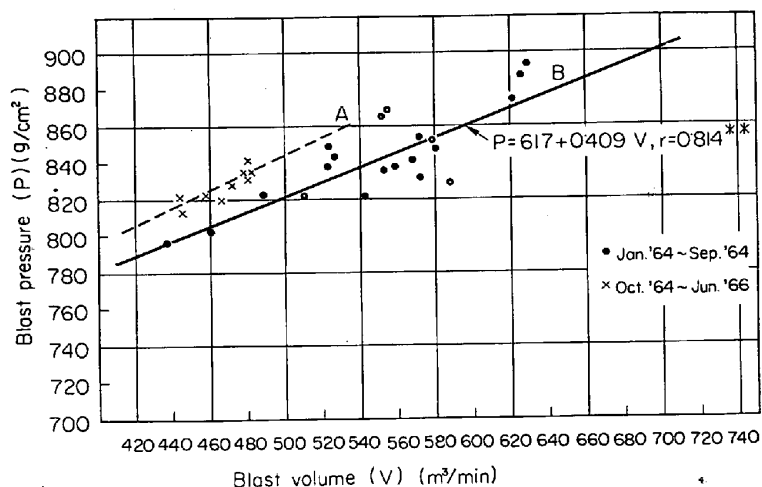


Fig. 4. Relation between blast volume and blast pressure.

## 文 献

- 1) 児玉、重見、緒方、堀尾: 鉄と鋼, 48 (1962) 12, p. 1555
- 2) A. D. GOTLIB: 高炉製銑法の理論, (1966), p. 323, 日本鉄鋼協会
- 3) 堀千代次: 特許公報, 昭 30-3201, (1955)

## (52) コークスベース変更による炉況調整について

富士製鉄、技術開発部  
〃 広畠製鉄所  
若林敬一

嶋田駿作・江崎 潤・○高城俊介  
The Blast Furnace Operation with Changing Coke Base

Keiichi WAKABAYASHI, Shunsaku SHIMADA  
Kiyoshi ESAKI and Shunsuke TAKAGI

## 1. 緒 言

高炉の炉況を支配する要因は数多くあるが、炉頂部における装入物の分布も非常に大きな影響を与えることが認められており、装入物分布に関する実験も古くから多く行なわれている。しかし、実際に高炉に適用して、炉況改善を行なつた例の報告は比較的少ないようである。

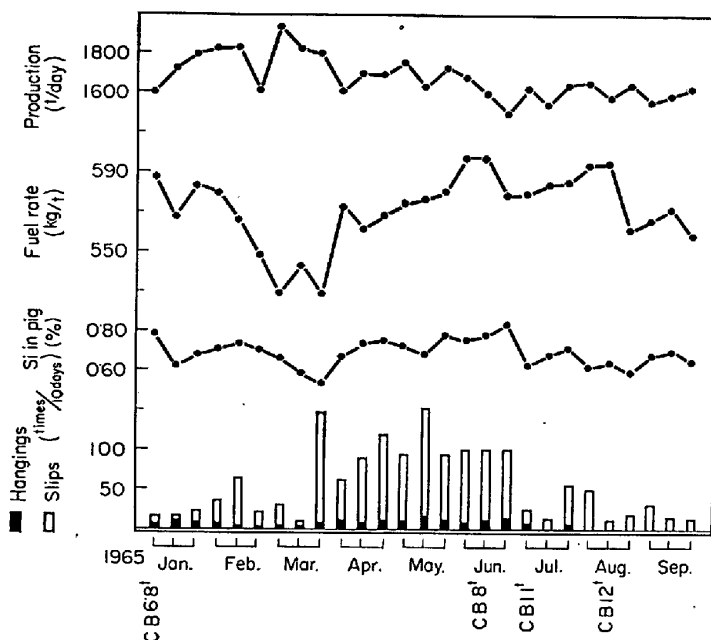


Fig. 1. Operation data of Hirohata No. 1 BF in 1965.  
C. B.=coke base

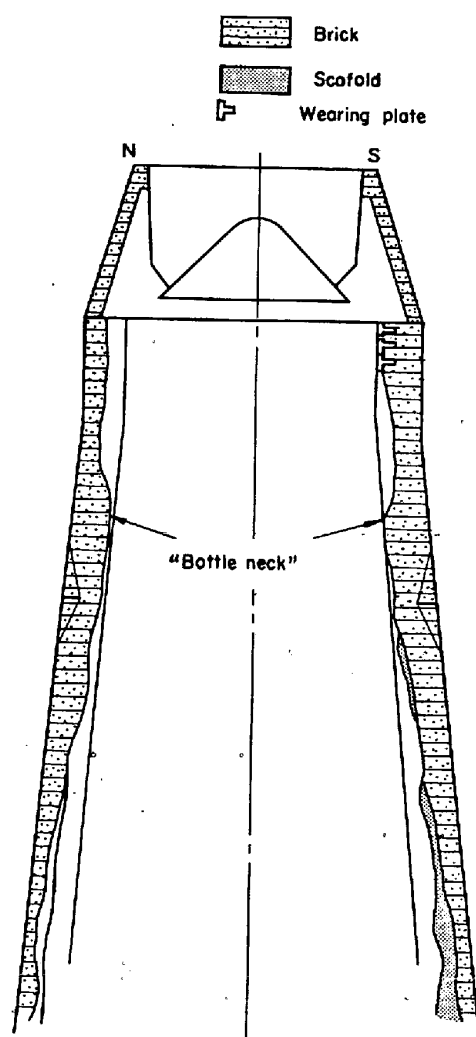


Fig. 2. Falling off of wearing plates forming the "bottle neck".

当所では、昭和40年6月、第4次1BFの炉頂部損傷に対処すべく、コークスベースの変更を行なつて装入分布を改善し、炉況恢復、出銑増、コークス比減などの顕著な効果を得ることができた。さらに、この結果を3BFにも適用し、同様の好結果を得た。ここにその概要を報告する。

## 2. コークスベース変更の効果

当所第4次1BFは、昭和32年6月に火入れを行なつたが、昭和40年3月頃(累計出銑415万t)より、炉況が著しく悪化した。Fig. 1に1BF炉況推移を示す。5月の予定休風にて炉頂部点検の結果、鉱石受金物の脱落が認められ、また、シャフト壁厚測定の結果、Fig. 2に示すごとき「クビレ」部分ができるていることが推定された。炉況悪化の原因は、鉱石受金物の脱落による炉口径の拡大に伴う装入分布の不適正と考えられた。また、シャフトガス圧力測定によれば、棚はクビレ部分でかかつていることが推定された。そこで装入物分布の適正化をはかるために、コークスベースを上昇し、鉱石受金物脱落前に近い分布が得られるように、装入方法の変更を行なうこととした。

6月20日、コークスベースを6.8tから8.0tに上昇した結果、Photo. 1に示すごとく、それまでの炉況不調はまつたく解消した。さらに、コークスベースを11t, 12tと漸次厚くした結果、炉況は目に見えて好転した。この結果から3BFのコークスベースも厚くする方がよいと判断し、8tを13.2tに上げたところ、シャフトの冷却盤破損が頻発し、100tに下げる余儀なくされた。

コークスベース変更に伴なう1BF, 3BFの操業結果を、Table 1に示すが、3BF 13.2tベースの場合は、冷却盤トラブルはあつたが、コークス比は最も低く、出銑量も休風補正を行なえば最も多い。

Table 1からいえることは、コークスベースが上昇するにしたがつて、

- (1) 出銑増が得られる。
  - (2) 炉頂ガス比がよくなり、コークス比が下る。
  - (3) 棚スリップが減少する。
  - (4) 風圧が上昇する。
  - (5) 炉況変動が少なくなるため、Siのレベルを下げ得る。
  - (6) あまり厚くしすぎると、冷却盤トラブルが起こる。
- などである。

## 3. 考察

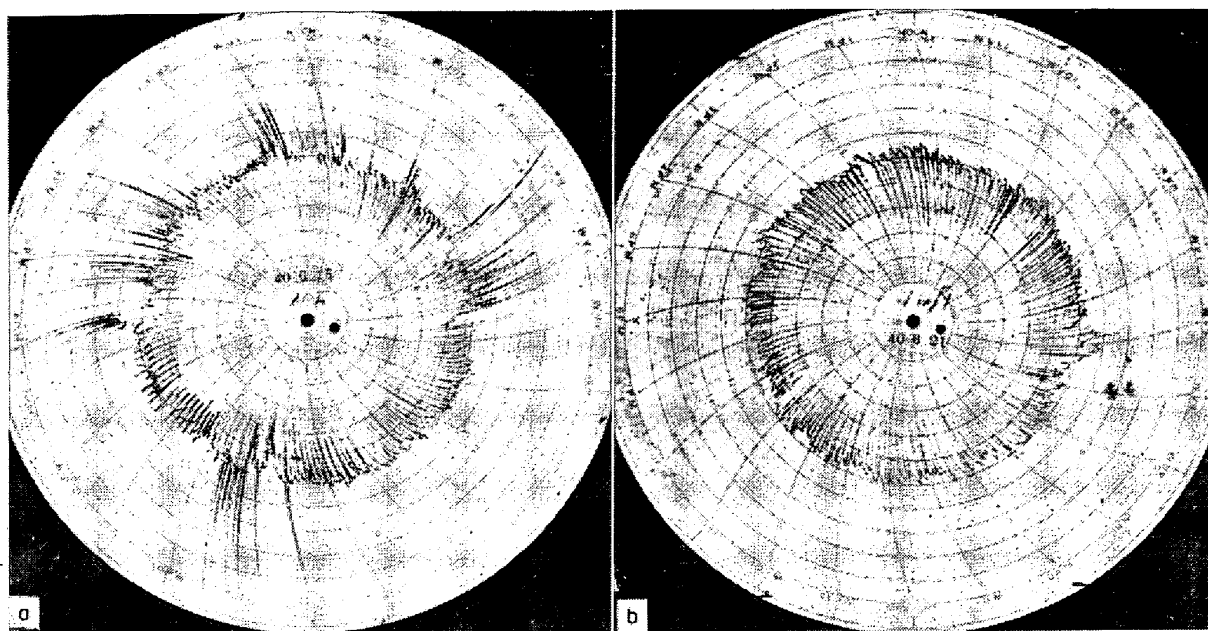
### 3.1 コークス比減、風圧上昇について

コークスベースを上昇することによるコークスと鉱石の分布状態の変化を考えると、

- (1) 単純に層厚が上昇する場合
- (2) 偏析が減少する場合

の2つが考えられる。すなわち、模型的に考えると、Fig. 3a(モデルI、単純な層厚上昇)および、b(モデルII、偏析減少)のごとき2つの場合である。

充填塔における圧降下の式を高炉に適用させた。S. ERGUN の式<sup>1)</sup>



a Before increasing coke base (Jun. 15. 1965)      b After increasing coke base (Jun. 21. 1965)  
Photo. 1. Variation of top gas pressure.

Table 1. Influence of coke base on the blast furnace operation (No. 1 and 3 BF).

BF (Throat diameter)	1 BF (7.5 m*)				3 BF (6.5 m)			
	Coke base (t)	Jun. 1~ Jun. 20	Jun. 21~ Jul. 7	Jul. 8~ Jul. 18	Sep. 1~ Sep. 30	Jul. 1~ Jul. 20	Aug. 1~ Aug. 31	Jul. 21~ Jul. 29
Mean thickness of coke layer* <sup>2</sup> (mm)	350	397	566	618	536	669	974	
Iron production (t/day)	1631	1532	1630	1612	2233	2279	2148	
Corrected iron production* <sup>3</sup> (t/day)	1633	1606	1630	1700	2302	2323	2360	
Coke rate (kg/t)	559	540	539	526	515	502	486	
Oil rate (kg/t)	37.5	37.0	47.7	45.8	43.0	41.1	39.6	
CO <sub>2</sub> in top gas (%)	15.1	16.8	16.5	17.1	17.5	18.9	18.3	
Si in pig iron (%)	0.76	0.73	0.70	0.67	0.63	0.60	0.67	
Blast volume (m <sup>3</sup> /min)	1796	1765	1797	1791	2331	2334	2310	
Blast pressure (kg/cm <sup>2</sup> )	1.105	1.050	1.123	1.308	1.292	1.396	1.446	
Blast temperature (°C)	934	963	927	949	954	983	958	
Blast humidity (g/m <sup>3</sup> )	22.5	29.9	31.8	33.5	33.6	36.7	37.3	
Top gas temperature (°C)	252	218	226	195	191	194	160	
Hanging (times/day)	0.80	1.12	0	0.07	0	0.23	0.44	
Slips (times/day)	8.65	6.12	0.53	1.87	0.10	0.80	0.89	
Sinter rate in burden (%)	56.1	60.4	46.9	60.6	61.1	68.6	72.4	
Slag rate (kg/t)	293	321	284	333	330	335	345	
Corrected coke rate* <sup>4</sup>	555.7	534.1	528.6	514.5	513.2	507.7	474.4	

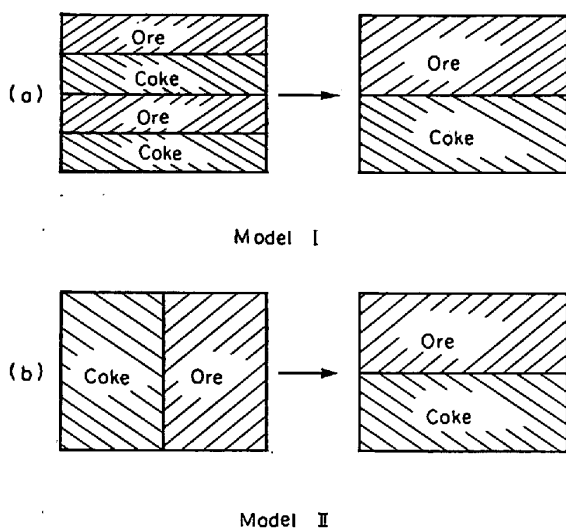
Factor	Base		Correcting conditions		Factor	Base		Correcting conditions	
	1 BF	3 BF	Variation	C. R. (kg/t)		1 BF	3 BF	Variation	C. R. (kg/t)
Oil rate (kg/t)	40	40	±1kg/t	±1.2	Slag rate (kg/t)	300	335	±1kg/t	±0.5
Si in pig (%)	0.70	0.60	±1%	±0.70	Blast temp. (°C)	950	970	±1°C	±0.3
Sinter rate (%)	60	65	±1%	±0.7	Blast humid. (g/m <sup>3</sup> )	30	35	±1g/m <sup>3</sup>	±1.2

\*1 Assumed diameter at lack of wearing plates

\*2 Mean thickness at the throat (bulk density of coke; 0.45 t/m<sup>3</sup>)

\*3 Corrected for lost time

\*4 Corrected with following conditions



Model I Coke and ore layers are simply thickened  
Model II Segregation of layers is lessened

Fig. 3 Schematic models of an increase in coke base.

$$\Delta P = P_i - P_e = \sqrt{P_e^2 + k \left( \frac{F}{A} \right)^2 Z \left( \frac{1-\epsilon}{\epsilon^3} \right)} - P_e \quad (1)$$

$P_i$ : 炉底圧

$P_e$ : 炉頂圧

$F$ : ガス流量

$A$ : 系断面積

$Z$ : 高さ

$D$ : 粒子径

$\epsilon$ : 空隙率

$k$ : 温度、流体摩擦係数にかかる const.

を用いて、両モデルの場合の圧損失を計算すると、モデルIのごとき変化の場合は、圧損失は変化なく(風圧上昇なし)、モデルIIの場合には圧損失が大きくなる(風圧上昇がある)。

実際の場合は、風圧が高くなつておらず、モデルIとIIの中間の効果が出ているものと考えられる。また、コークス比については、モデルIIのごとき変化があつた場合は、炉内上昇ガスが鉱石層をより多く通るようになる結果、還元が進み、コークス比低下が得られる。

### 3.2 棚、スリップの減少について

コークススペース上昇により、モデルIIのごとき変化が起こる場合は、炉内ガスの分布が均一化され、ガス上昇速度が遅くなる結果、棚、スリップが起こりにくくなると考えられる。

### 3.3 冷却盤トラブルについて

3BFにおいて、13.2tベースにした場合、冷却盤からのガス噴出、破損が頻発したが、従来からコークススペースを上げると外部操業になるといわれており、実験的にも証明されている<sup>2)</sup>。すなわち、コークスは鉱石に比し、内部に流れ込みやすいため、外部は内部に比して、ore/cokeが高い。この差は、コークススペースが低い程大きくなるということが実験的に確かめられているが<sup>2)</sup>、コークススペース増大によつて、鉱石単位装入量が増え、鉱石が内部に流れ込みやすくなり、相対的に周辺部コークスが多くなる。すなわち、モデルIIのごときガス流の均一化は、内部が減り、外部が増えるという方向に行なわれる。この度合がすぎると、冷却盤トラブルが起るわけである。

## 4. 結 言

当所第4次1BFの炉頂部損傷対策として、コークススペースを高めた結果、好成績を得ることができ、3BFにても同様な結果が得られた。コークススペースを上げた場合の効果は、

- (1) 出銑増
- (2) コークス比減
- (3) 棚、スリップ減少
- (4) 風圧上昇
- (5) Siベースを下げ得る。
- (6) あまり厚くしすぎると、冷却盤トラブルが起る。

などである。

この効果の原因は、コークススペースを上げることにより、ore/cokeが炉断面で均一化されるためである。

## 文 献

- 1) S. ERGUN: Ind. Eng. Chem., 45 (1953), p. 477
- 2) 児玉、重見、斧、彼島: 鉄と鋼, 50 (1964) 11, p. 1594